

## · 论 著 ·

## P16、△NP63 在宫颈上皮内瘤变及宫颈癌组织中的表达及相关性研究

杨君<sup>1</sup>, 王彬<sup>2</sup>, 周德平<sup>1</sup>, 张轩珍<sup>2</sup>, 李云霞<sup>2</sup>

(重庆市妇幼保健院:1. 妇产科;2. 病理科 400013)

**摘要:**目的 探讨 P16、△NP63 蛋白在宫颈上皮内瘤变及宫颈癌组织中的表达、意义及其相关性。方法 采用免疫组化 SP 法检测 42 例宫颈鳞癌,90 例宫颈上皮内瘤变(cervical intraepithelial neoplasia, CIN),25 例慢性宫颈炎组织石蜡切片中 P16、△NP63 蛋白的表达。结果 (1)从慢性宫颈炎组织、CIN 到宫颈鳞癌,P16、△NP63 的表达均递增,差异有统计学意义( $P < 0.01$ )。(2)P16 蛋白表达与宫颈癌患者的年龄、临床分期及癌细胞分化程度无关,△NP63 蛋白表达与宫颈癌患者年龄、临床分期无关,与癌细胞分化程度呈负相关,在分化程度差的肿瘤组织中表达增高( $P < 0.05$ )。(3)在 CIN 和宫颈鳞癌中,P16 与△NP63 蛋白表达呈正相关( $r_s = 0.6226, P < 0.01$ )。结论 P16、△NP63 参与了 CIN、宫颈鳞癌的发生、发展,其免疫组化检测对宫颈癌的早期诊断有参考价值。

关键词:P16;△NP63;宫颈上皮内瘤变;宫颈癌

中图分类号:R737.33;R730.43

文献标识码:A

文章编号:1671-8348(2009)24-3060-03

**Expressions of P16 and △NP63 in cervical intraepithelial neoplasia and carcinoma of cervix uterus and their relationship to clinicopathology**

YANG Jun<sup>1</sup>, WANG Bin<sup>2</sup>, ZHOU De-ping<sup>1</sup>, et al.

(1. Department of Obstetrics and Gynecology; 2 Department of Pathology, Chongqing Obstetric and Gynecology Hospital, Chongqing 400013, China)

**Abstract:** Objective To examine the expression of P16,△NP63 in cervical carcinoma and cervical intraepithelial neoplasia (CIN) and to study the clinical significance and their correlativity. Methods Expressions of P16 and △NP63 were detected by immunohistochemical staining in 42 cases of cervical squamascarcinoma, 90 cases of CIN and 25 cases of chronic cervicitis. Results The positive rate of P16 and △NP63 in CIN and cervical carcinoma was significantly higher than that in chronic cervicitis respectively ( $P < 0.01$ ). The level of P16 and △NP63 expression in CIN and cervical carcinoma increased with the increasing of clinical stage ( $P < 0.01$ ), and positive staining of △NP63 in well differentiated carcinoma tissue was higher than that in intermediately or poorly differentiated carcinoma tissue. There was no relationship between the expression of P16,△NP63 in cervical carcinoma and the characteristic of clinical or pathology ( $P > 0.05$ ). The expression of P16 was positively correlated to △NP63 in CIN and cervical carcinoma( $r_s = 0.6226, P < 0.01$ ). Conclusion The expressions of P16,△NP63 contribute to carcinogenesis and development of CIN and cervical carcinoma. P16 and △NP63 are of value in early diagnose of CIN and cervical carcinoma.

Key words: P16;△NP63;CIN;cervical carcinoma

宫颈癌是严重威胁妇女生命健康的恶性肿瘤,近年来呈年轻化趋势<sup>[1]</sup>。P16 基因又称多肿瘤抑制基因 MTS1、CDKN2 或 INK4I,其编码产生的 P16 蛋白是一种细胞周期蛋白依赖性抑制因子(cyclin dependent inhibitor, CDI),它通过抑制细胞周期蛋白依赖性激酶(cyclin dependent kinase, CDK)对细胞周期起负调控作用。P63 属于 P53 肿瘤抑制基因家族,转录后产生两种产物:TAP63 和△NP63。△NP63 同源体通过调节细胞分化、凋亡、增殖及移动在癌的进展过程中起致癌作用。研究表明,P16 及△NP63 的表达异常分别与 HPV 感染所致的宫颈癌密切相关<sup>[2-3]</sup>,但二者之间的关系研究较少。本文采用免疫组化法检测二者在宫颈癌及癌前病变中的表达,探讨其相互关系及在宫颈癌的发生、发展、预后判断中的作用。

## 1 材料与方法

**1.1 材料** 选择重庆市妇幼保健院病理科 2004 年 1 月至 2008 年 5 月存档的宫颈鳞癌石蜡标本 42 例(其中活检标本 20 例,手术标本 22 例)。CIN90 例(其中 CIN I 27 例,CIN II 33 例,CIN III 30 例),作为实验组。同时,随机选取同期因良性病变行全子宫切除的慢性宫颈炎组织 25 例作对照组。入选病例既往均无放疗、化疗及激素治疗史。实验组 132 例患者,年龄

23~76 岁,平均年龄 44.1 岁。实验组与对照组之间患者年龄差异无统计学意义。全部病例均请病理专家复诊证实,宫颈癌组按《肿瘤病理诊断与鉴别诊断学》标准<sup>[4]</sup>进行肿瘤细胞分化程度判定:高分化 15 例,中分化 22 例,低分化 5 例;临床分期采用国际妇产科联盟(FIGO 2000 年)标准:I 期 12 例,II 期 21 例,III 期 7 例,IV 期 2 例。

**1.2 主要试剂** 兔抗人 P16 多克隆抗体、鼠抗人△NP63 单克隆抗体及阳性对照切片均购自福州迈新生物技术有限公司。

**1.3 方法** 采用免疫组化 SP 法,主要染色步骤参照试剂盒说明书进行。以已知阳性切片为阳性对照,以 PBS 液代替一抗作阴性对照。

**1.4 结果判定标准** P16 阳性染色为细胞核和胞浆出现棕黄色颗粒。△NP63 阳性染色主要位于细胞核,呈棕黄色或棕褐色颗粒。蛋白表达强度采用显微摄像计算机图像分析系统计算(间质细胞阳性不计入内)。

判定标准:采用 Gatalica<sup>[5]</sup>半定量方法,将染色强度(intensity, I)分为 4 级:无染色为 0,低度染色为 1,中度染色为 2,强染色为 3。计算阳性细胞百分率(percentage, P),0% = 0 分;小于 10% = 1 分;10%~50% = 2 分;51%~80% = 3 分;大于

80% = 4 分。得分 =  $I \times P$ , 在 0~12 分, 大于或等于 4 分为阳性表达。

**1.5 统计学方法** 采用 SPSS10.0 统计软件进行统计学分析, 率的比较用  $\chi^2$  检验或四格表确切概率检验, 二者相关性用非参数 Spearman 等级相关分析,  $P < 0.05$  为显著性检验水准。

## 2 结 果

**2.1 P16、 $\triangle N$  P63 蛋白在慢性宫颈炎、CIN 及宫颈癌组织中的表达** 慢性宫颈炎组织中 P16 阳性细胞主要分布于基底层和旁基底层, 染色均匀, 着色较浅, 表层细胞无表达。浸润癌中 P16 阳性细胞弥漫或灶状分布, 呈粗大颗粒状, 着色深。 $\triangle N$  P63 蛋白主要表达于胞核, 在慢性宫颈炎组织中呈弱阳性表达于基底层和中间细胞层, 部分表达于不成熟鳞状上皮化生及增生的储备细胞。随 CIN 级别的增高到宫颈鳞癌,  $\triangle N$  P63 蛋白表达逐渐增强, 其染色范围与病变细胞呈明显相关性。P16 和  $\triangle N$  P63 蛋白在慢性宫颈炎、CIN 及宫颈鳞癌组织中的表达情况见表 1, 图 1~图 6。

表 1 P16 和  $\triangle N$  P63 的表达

分组	n	P16		$\triangle N$ P63	
		阳性(n%)	P	阳性(n%)	P
慢性宫颈炎	25	4(16.00)	<0.01 <sup>a</sup>	7(28.00)	<0.01 <sup>a</sup>
CIN	90	62(68.89)		65(72.22)	
宫颈癌	42	40(95.24)	<0.01 <sup>b</sup>	36(85.71)	>0.05 <sup>b</sup>

<sup>a</sup>: 3 组间比较; <sup>b</sup>: CIN 组与宫颈癌组间比较。

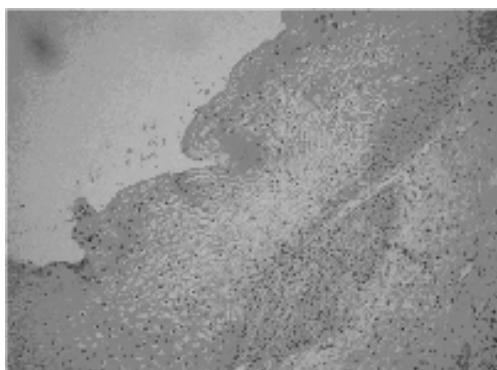


图 1 P16 在慢性宫颈炎组织中阴性表达 (SP×100)

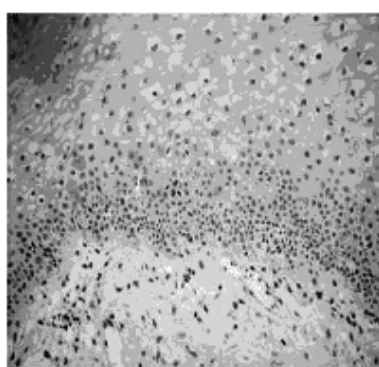


图 2 P16 在 CIN I 中弱阳性表达于细胞核和胞浆 (SP×100)

**2.2 宫颈鳞癌及 CIN 组织中 P16 和  $\triangle N$  P63 蛋白表达与临床及病理特征的关系** P16 和  $\triangle N$  P63 蛋白在宫颈鳞癌及 CIN 组织中的表达均与患者年龄无关 ( $P > 0.05$ ), 在低度宫颈上皮内病变 (CIN I) 中的表达低于高度宫颈上皮内病变 (CIN II)、

CIN III), 在宫颈鳞癌中呈强阳性表达, 不同临床分期组间表达阳性率无差异。P16 蛋白表达与癌细胞分化程度无关,  $\triangle N$  P63 蛋白表达与癌细胞分化程度呈负相关, 在分化程度差的肿瘤组织中表达增高 ( $P < 0.05$ )。见表 2。

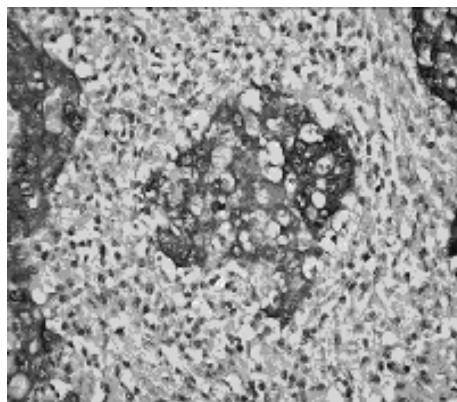


图 3 P16 在宫颈鳞癌组织中阳性表达于细胞核和胞浆 (SP×400)

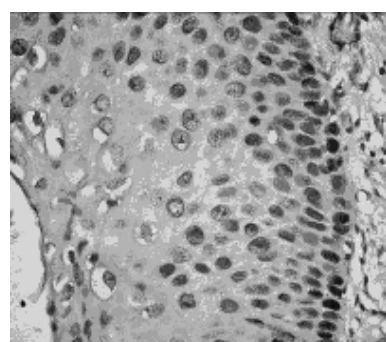


图 4 P63 在 CIN II 中阳性表达于细胞核 (SP×400)

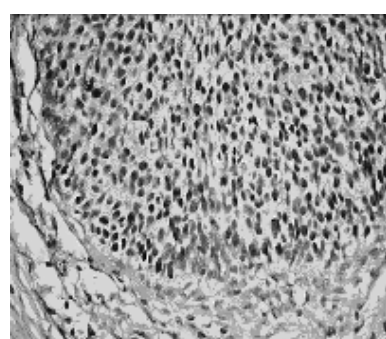


图 5 P63 在 CIN III 中阳性表达于细胞核 (SP×200)

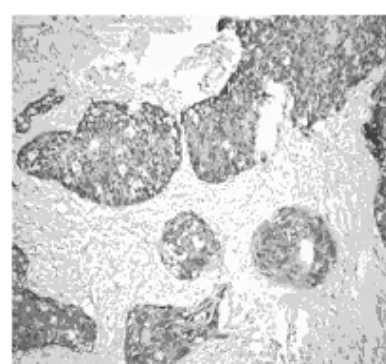


图 6 P63 在宫颈鳞癌组织中阳性表达于细胞核 (SP×200)

表2 P16和△NP63蛋白表达与临床及病理特征的关系

临床病理特征	n	P16		△NP63	
		阳性[n(%)]	P	阳性[n(%)]	P
年龄(岁)					
≤45	70	51(72.86)	>0.05 <sup>a</sup>	55(78.57)	>0.05 <sup>a</sup>
>45	62	51(82.26)		46(74.19)	
CIN分级					
CINⅠ	27	13(48.15)	<0.01 <sup>b</sup>	15(55.56)	<0.05 <sup>b</sup>
CINⅡ	33	24(72.73)	>0.05 <sup>c</sup>	23(69.70)	<0.05 <sup>c</sup>
CINⅢ	30	25(83.33)		27(90.00)	
宫颈癌临床分期					
I期	12	11(91.67)	>0.05 <sup>d</sup>	10(83.33)	>0.05 <sup>d</sup>
II期	21	20(95.24)		18(85.71)	
III期	7	7(100.00)		6(85.71)	
IV期	2	2(100.00)		2(100.00)	
宫颈癌细胞分化程度					
高分化	15	13(86.67)	>0.05 <sup>e</sup>	10(66.67)	<0.05 <sup>e</sup>
中分化	22	22(100.00)		21(95.45)	
低分化	5	5(100.00)		5(100.00)	

<sup>a</sup>:不同年龄组间比较;<sup>b</sup>:CINⅠ组与CINⅡ及CINⅢ组间比较;<sup>c</sup>:CINⅡ组与CINⅢ组间比较;<sup>d</sup>:宫颈癌不同临床分期组间比较;<sup>e</sup>:宫颈癌不同分化程度组间比较。

**2.3 宫颈鳞癌及CIN组织中P16和△NP63蛋白表达二者之间的关联性** 经Spearman等级相关分析,在宫颈鳞癌及CIN组织中,P16和△NP63蛋白表达二者之间呈正相关性( $r_s=0.6226$ , $P<0.01$ )。

### 3 讨论

人乳头瘤病毒(HPV)已明确为宫颈癌的病因<sup>[6-7]</sup>。抑癌基因P16基因定位于人染色体9p21,编码P16蛋白,主要通过与cyclinD1竞争性结合CDK4/CDK6,抑制视网膜母细胞瘤蛋白(pRb)磷酸化和转录调节因子E2F释放,诱导细胞G<sub>1</sub>→S期停滞。另一方面,P16蛋白还可能通过抑制spl与hTERT启动子的结合,诱导染色体端粒缩短,参与肿瘤抑制及启动细胞衰老过程。研究表明,P16几乎在100%高危型HPV(HR-HPV)阳性的宫颈癌和癌前病变中过表达<sup>[1]</sup>。本研究中,宫颈鳞癌组织中P16呈强阳性表达(95.24%),明显高于CIN组(68.89%)及慢性宫颈炎组(16.00%),且随着CIN病变程度升级而表达强度及范围增加,与文献报道相符。推测其主要分子机制:HR-HPV致癌基因E6、E7蛋白使宿主细胞P53和Rb基因失活,阻断了P16结合CDK4/CDK6降低pRb磷酸化途径,同时减少了pRb-E2F复合物,使P16的负反馈抑制解除,P16表达升高。P16表达异常是HR-HPV感染并引致宿主细胞变异的客观表现,在宫颈病变的早期诊断中可能发挥重要作用。

P53基因是人类肿瘤中最广泛存在的肿瘤抑制基因,近年发现其同源基因,包括P63和P73,二者都能激活P53相关靶基因,引起细胞周期停滞及细胞凋亡,但二者生物学功能较P53复杂,其不同的转录产物和蛋白异构体在肿瘤的发生发展

中起着抑癌或致癌基因作用。人P63基因位于染色体3q27-3q29,转录后产生两种产物:TAp63和△NP63,TAp63同源体与P53相似,具有抑癌作用,而缺乏转录激活TA(transcription activation)区域的△NP63同源体则通过显性抑制的方式阻断P63其他异构体、P73异构体以及P53的转录活性,在癌的进展过程中起致癌作用<sup>[8]</sup>。P63基因mRNA在人和鼠组织中主要表达于表皮、宫颈、泌尿道等具有鳞状上皮分化潜能的基底细胞和旁基底细胞<sup>[9]</sup>,其中转录水平最高的是△NP63<sup>[10]</sup>。Martens等<sup>[3]</sup>发现P63与HPV感染所致的宫颈癌密切相关,提出P63也是HPV的靶细胞标记之一。本研究中,从慢性宫颈炎组织、CIN到宫颈鳞癌,△NP63的表达呈递增趋势,尤其是CIN组(72.22%)与慢性宫颈炎组(28.00%)差异有统计学意义( $P<0.01$ ),提示△NP63表达异常可能是宫颈鳞癌早期病变的信号因子,且△NP63蛋白表达范围与病变细胞呈明显相关性,有助于CIN病变分级的组织学诊断。

宫颈癌的预后与临床分期密切相关。本研究中,宫颈鳞癌组织中P16蛋白表达与患者临床特征无明显相关性,△NP63蛋白表达仅与癌细胞分化程度呈负相关,提示P16、△NP63蛋白的表达对宫颈癌的预后判断意义不大。

本研究中,在宫颈鳞癌及CIN组织中P16和△NP63蛋白表达二者之间显示正相关性( $P<0.01$ ),推测△NP63通过阻断P53介导的反式激活,抑制野生型P53基因的抑癌功能导致的细胞周期调控异常与HR-HPV E6、E7蛋白使宿主细胞P53和Rb基因失活,P16蛋白过表达导致细胞变异具有协同作用,其具体分子机制尚待进一步研究。

综上所述,P16、△NP63蛋白的表达异常可能是宫颈鳞癌发生的早期分子事件,二者具有协同性,并在宫颈鳞癌及癌前病变的发生发展中发挥重要作用,其免疫组化检测对宫颈癌的早期诊断具有参考价值,P16、△NP63有望成为宫颈癌早期诊断的敏感指标。

### 参考文献:

- Wang SS, Sherman ME, Hildesheim A, et al. Cervical adenocarcinoma and squamous cell carcinoma incidence trends among white women and black women in the United States for 1976—2000[J]. Cancer, 2004, 100(5):1035.
- Eleuterio J Jr, Giraldo PC, Goncalves AK, et al. Prognostic markers of high-grade squamous intraepithelial lesions: the role of p16INK4a and high-risk human papillomavirus[J]. Acta Obstet Gynecol Scand, 2007, 86(1):94.
- Martens JE, Arends J, Vander Linden PJ, et al. Cytokeratin 17 and P63 are markers of the HPV target cell, the cervical stem cell [J]. Anticancer Res 2004, 24(2B):771.
- 廖松林.肿瘤病理诊断与鉴别诊断学[M].福州:福建科学技术出版社,2006:526.
- Gatalica Z, Lele SM, Rampy BA, et al. The expression of Fhit protein is related inversely to disease progression in patients with breast carcinoma [J]. Cancer, 2000, 88(6):1378.
- Graflund M, Sorbe B, Sigurdardóttir S, et al. Relation between HPV-DNA and expression of p53, bcl-2, p21WAF-1, MIB-1, HER-2/neu and DNA ploidy (下转第3066页)

例小于胎龄儿，新生儿体重900~2980g，低体重儿8例。存活儿未再发生宫内死亡，出生后其中1例新生儿重度窒息，1例新生儿出生后7d因呼吸窘迫综合征死亡。

### 3 讨 论

**3.1 多胎妊娠之一宫内死亡的发生率** 妊娠晚期发生死胎与活胎并存在我院占住院分娩多胎的3.30%，国内外报道甚少，而对双胎之一宫内死亡的发生率，波兰报道为0.5%~6.8%<sup>[1]</sup>，国内张颖报道为4.98%，苏琦枫<sup>[2]</sup>报道为3.65%。  
**3.2 多胎妊娠晚期发生死胎与活胎并存期待疗法的可行性** 本组有1例，发现宫内死胎时间最长为98d，活胎均存活分娩，新生儿未见异常。多胎双卵双胎妊娠晚期发生死胎与活胎并存，是否会给存活儿带来危险主要取决于胎盘上是否有吻合血管，可能是因为双卵双胎间较少血管吻合有关；母亲无1例出现弥散性血管内凝血(DIC)，原因可能为一胎儿死亡后胎盘血管闭塞胎盘表面大量纤维素沉积，阻止了凝血酶向母体及存活胎儿的释放<sup>[3]</sup>。因此可在密切监测母体情况下，促进生存胎儿的生长和成熟。如母体出现DIC时，必须终止妊娠；而3P试验和D-二聚体含量则是对母体凝血功能监测较为敏感的指标<sup>[4]</sup>。如母体情况稳定，可在生存儿宫外能生存时择期使其娩出，为防止宫缩时更多的死胎分解物进入母体，应适当采取剖宫产娩出活胎。本文活胎分娩后仅1例7d后死亡，其余均存活，母体均无DIC。双胎之一宫内死亡多发生于单卵双胎，与双胎输血综合征(TTTS)有关，双胎输血综合征在单绒毛膜双羊膜腔胎盘中约为5%~15%，是影响单绒毛膜双胎围产期结局的主要原因<sup>[5]</sup>。但胎死后继续妊娠对孕母无影响，而存活胎儿神经系统受损多见。本文1例因IVF术移植2枚胚胎后发育为3个胎儿，妊娠17周发现1胎无心胎儿，妊娠26周1胎宫内死亡，另一胎妊娠32周剖宫产存活。无心胎儿，是多胎妊娠的一种少见的畸形，又称双胎反向动脉灌注(TRAP)，发生率约占单卵双胎的1%，TRAP基本的变化是在胚胎发生时期在双胎的脐动脉出现动脉吻合。具有血流动力学优势的胚胎成为泵血胎，通过脐动脉吻合向另一胎儿供血，低氧含量的血流通过脐动脉进入髂动脉再进入腹主动脉进入无心胎，使双胎中的无心畸形借正常胎儿心脏的动力，通过交通支获得循环血液而生存。无心畸形因无心脏，它利用另一个正常胎儿的心脏

的血供不断长大，因此是受血儿，常伴有水肿及羊水过多，而正常胎儿为供血儿，个体发育小，贫血，羊水过少。本文中1例无心胎儿体重100g，仅有躯干及左侧肢体。过去都主张及时终止妊娠以防止组织凝血活酶释放导致DIC；子宫内胎儿栓塞综合征，以及双胎输血综合征等危及胎儿及母体，但此时如孕周尚不足34周，存活胎儿未成熟，过早终止妊娠则早产儿死亡率极高。本文1例28周早产儿因药物保胎失败阴道分娩，在出生后7d因新生儿呼吸窘迫综合征死亡。宫内死胎时间与母儿预后的关系有待进一步研究，并且要将脐带与胎盘因素考虑在内。国内报道发现死胎的胎盘里沉积着大量的纤维蛋白，它可以降低母体的纤维蛋白原，继而增加纤维蛋白的降解产物，或可以阻断从胎儿和胎盘来的促凝血酶原激活酶进入母体循环，预防了弥漫性血管内凝血，两个机制是在形成广泛的纤维化的基础上运行的<sup>[6]</sup>，因此，如多胎之一或二宫内死亡，B超排除活胎发育异常监测并积极治疗妊娠合并症，采取期待疗法至34周分娩是可行的。

### 参考文献：

- [1] Dziechciows KI. Elective cesarean section in cases of threatened twin pregnancy[J]. Ginekol Pol, 2000, 7(3): 146.
- [2] 苏琦枫. 双胎之一胎死宫内原因监测与处理[J]. 中国实用妇科与产科杂志, 2002, 18(2): 75.
- [3] 曹泽毅 主编. 中华妇产科学[M]. 北京: 人民卫生出版社, 1999: 416.
- [4] 王志坚, 李宏, 柳美莲, 双胎妊娠中晚期胎儿宫内死亡13例临床分析[J]. 中国妇幼保健, 2008, 23(11): 1483.
- [5] Lim YK, Tan TY, Zuarate R, et al. Outcomes of twin-twin transfusion syndrome managed by a specialised twin clinic [J]. Singapore Med J, 2005, 46(8): 401.
- [6] 朗景和 主译. 威廉姆斯产科学[M]. 20版. 西安: 世界图书出版公司, 2001: 22.

(收稿日期: 2009-06-05)

(上接第3062页)

- in early cervical carcinoma: correlation with clinical outcome [J]. Oncol Rep, 2004, 12(1): 169.
- [7] Hoory T, Monie A, Gravitt P, et al. Molecular epidemiology of human papillomavirus [J]. J Formos Med Assoc, 2008, 107(3): 198.
- [8] Wu G, Nomoto S, Hoque M, et al. TA63a and ΔNp63a regulate transcription of genes with distinct biological functions in cancer and development [J]. Cancer Res, 2003, 63: 2351.

- [9] Westfall MD, Pietenpol JA. P63: molecular complexity in development and cancer [J]. Carcinogenesis, 2004, 25(6): 857.
- [10] Noszczyk BH, Majewski ST. P63 expression during normal cutaneous wound healing in humans [J]. Plast Reconstr Surg, 2001, 108(5): 1242.

(收稿日期: 2009-06-05)